

07;12

## Квазидифракционные эффекты при облучении движущихся поверхностей. II

© Д.Н. Дойников<sup>1</sup>, К.И. Зорько<sup>1</sup>, М.Ф. Кудояров<sup>1</sup>, А.В. Матюков<sup>1</sup>, С.А. Мухин<sup>1</sup>, М.Я. Патрова<sup>2</sup><sup>1</sup> Физико-технический институт им. А.Ф. Иоффе РАН,  
194021 Санкт-Петербург, Россия<sup>2</sup> Закрытое акционерное общество „НПФ ТРЕМ“,  
194021 Санкт-Петербург, Россия  
e-mail: mkud@cycla.ioffe.rssi.ru

(Поступило в Редакцию 27 мая 2002 г.)

Вторая часть публикуемой под общим названием работы посвящена применению изложенных в первой части общих принципов квазидифракционного подхода к анализу процесса облучения движущихся поверхностей импульсными потоками ускоренных заряженных частиц. При этом особое внимание уделено тому, что в процессе формирования таких потоков используется периодическое сканирование рабочей апертуры узким сфокусированным пучком.<sup>1</sup>

### 1. Пространственно-временные биения, возникающие при периодическом сканировании рабочей апертуры импульсным облучающим пучком

В отличие от электромагнитных и нейтронных облучающих потоков потоки заряженных частиц имеют ту отличительную особенность, что их формирование и управление могут производиться электростатическими и магнитными полями. В частности, для получения равномерной плотности облучения вдоль какой-либо из координат часто используют электростатическое или магнитное сканирование [1,2]. Если при этом ускоритель, формирующий исходный ионный или электронный поток, работает в импульсном режиме, то облучение обязательно сопровождается пространственно-временными биениями, обусловленными существованием двух независимых частот: частоты сканирования и частоты следования облучающих импульсов. Рассмотрим процесс формирования таких биений.

Пусть интенсивность облучающих импульсов имеет прямоугольную форму, а их длительность равна  $T_{\text{им}}$  (рис. 1, диаграмма 1). Предположим также, что сканирование облучающей апертуры пучком происходит по линейно-периодическому закону с периодом  $T_{\text{sc}}$ , причем выполняется условие  $T_{\text{sc}} \leq T_{\text{им}} < T_0$ , где  $T_0$  — период повторения импульсов. Диаграммы левого диаграммного столбца на рис. 1 этому условию удовлетворяют. Рассмотрим случай, когда период  $T_0$  „почти“ кратен периоду сканирования  $T_{\text{sc}}$ , или, другими словами, когда

существует такое натуральное  $n > 1$ , что

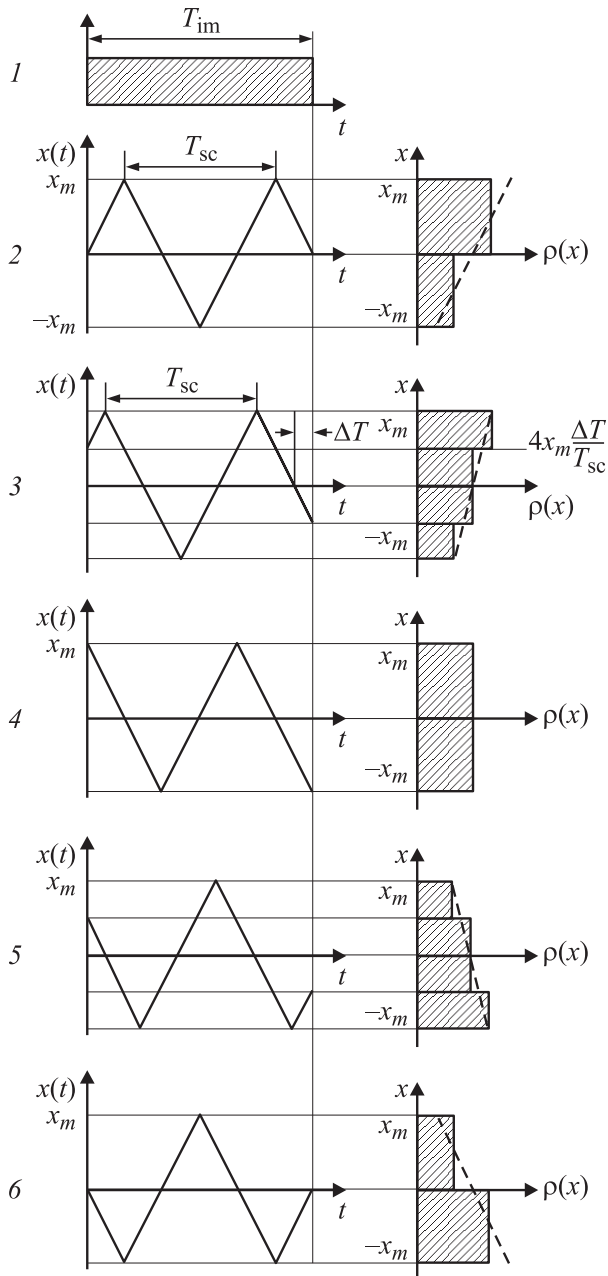
$$\left| \frac{n \cdot T_{\text{sc}} - T_0}{T_{\text{sc}}} \right| \ll 1. \quad (1)$$

При этом с приходом каждого очередного импульса происходит небольшой фазовый сдвиг функции сканирования  $x(t)$  относительно начала этого импульса. На временной диаграмме 2 (рис. 1) начальные фазы процессов выбраны так, что плотность облучения  $\rho(x)$  верхней части апертуры вдвое больше плотности облучения ее нижней части. Условимся считать, что фазовый сдвиг  $\Delta T$  равен при этом нулю. На диаграмме 3 представлен случай, когда  $\Delta T \neq 0$ . Легко убедиться, что распределение плотности  $\rho(x)$  вдоль апертуры в этом случае будет иметь вид трехступенчатой функции, приведенной слева от диаграммы. Дальнейшее увеличение  $\Delta T$  постепенно приводит к полному выравниванию плотности облучения в интервале  $-x_m \leq x \leq x_m$  (рис. 1, диаграмма 4), а затем начинает преобладать плотность облучения в нижней части апертуры. Цикл изменения  $\rho(x)$  завершится при  $\Delta T = T_{\text{им}}$ . Математически зависимость  $\rho(x, \Delta T)$  для показанных на диаграммах случаев может быть представлена в виде

$$\rho(x, \Delta T) = \begin{cases} 4 & \frac{4x_m}{T_{\text{sc}}} \cdot \Delta T < x < x_m, \\ 3 & -\frac{4x_m}{T_{\text{sc}}} \cdot \Delta T \leq x \leq \frac{4x_m}{T_{\text{sc}}} \Delta T, \\ 2 & -x_m < x < -\frac{4x_m}{T_{\text{sc}}} \Delta T. \end{cases} \quad (2)$$

Из правого столбца диаграмм на рис. 1 видно, что если для каждого  $\Delta T$  зависимость  $\rho(x, \Delta T)$  аппроксимировать линейной функцией, проходящей через точку  $x = 0$ ,  $\rho = \rho_0$ , где  $\rho_0$  — средняя по апертуре интенсивность облучающего потока, то такая аппроксимирующая функция будет как бы периодически „раскачиваться“

<sup>1</sup> При написании первой части работы предполагалось, что вся работа будет состоять из двух частей, причем экспериментальные результаты будут приведены во второй части. Однако в дальнейшем авторы посчитали целесообразным расширить описание методики, связанной с обработкой эксперимента, и более подробно представить ее в отдельной третьей части работы.



**Рис. 1.** Временные диаграммы, поясняющие формирование распределения плотности облучения  $\rho(x)$  за время действия импульса  $T_{im}$  при различных фазах сканирующей функции  $x(t)$ .

во времени относительно указанной точки с периодом, который мы назовем периодом биений и обозначим  $T_b$ . Очевидно, что будет иметь место равенство

$$T_b = T_0 \cdot \frac{T_{sc}}{\Delta T}. \quad (3)$$

При постоянных  $T_{sc}$  и  $T_{im}$  величины  $T_0$  и  $\Delta T$  не являются независимыми. Они связаны соотношением

$$\Delta T = |T_0 - nT_{sc}|. \quad (4)$$

Из (3) и (4) получаем

$$T_b = \frac{T_0 T_{sc}}{|T_0 - nT_{sc}|} = \frac{1}{f_0 f_{sc} \cdot \left| \frac{1}{f_0} - \frac{n}{f_{sc}} \right|} = \frac{1}{|f_{sc} - n f_0|} = \frac{1}{f_b}, \quad (5)$$

где  $f_{sc} = 1/T_{sc}$ ,  $f_0 = 1/T_0$ ,  $f_b = 1/T_b$  — соответствующие частоты.

Из (5) вытекает, что  $f_b = |f_{sc} - n f_0|$ . Если в этом соотношении  $f_b$  и  $f_0$  считать постоянными, то частоты сканирования, которым соответствует заданная частота биений  $f_b$ , определяется выражением

$$f_{sc} = n f_0 \pm f_b. \quad (6)$$

Если  $f_{sc} \gg f_b$ , то при изменении частоты сканирования одна и та же частота биений будет повторяться очень часто. Например, пусть  $f_{sc} \approx 100 f_0$ . Тогда при изменении  $f_{sc}$  в десятипроцентном интервале от  $f_{sc}$  до  $1.1 f_{sc}$  биения с заданной малой частотой  $f_b$  будут иметь место в двадцати точках этого узкого частотного диапазона (при целых  $n$  от 100 до 109 — для знака „+“ и при тех же значениях  $n$  — для знака „-“). В приведенные выражения не входит длительность импульса, однако легко показать, что величина  $T_{im}$  влияет только на амплитуду биений, но не на их частоту.

Таким образом, мы приходим к заключению, что если облучающий ионный пучок имеет импульсную временную структуру, то сканирование таким пучком рабочей апертуры вдоль одной из ее координат приводит к тому, что усредненное за время действия импульса распределение плотности сформированного потока вдоль упомянутой координаты будет содержать переменную составляющую, частота которой задается выражением  $f_b = |f_{sc} - n f_0|$ .

В линейном приближении пространственно-временная зависимость, описывающая эту переменную составляющую, соответствует выражению для стоячей волны, длина которой намного больше ширины апертуры, а узел располагается в ее центре. Складывая переменную и постоянную составляющие плотности облучения, можно записать выражение для плотности сформированного указанным способом облучающего потока как функцию координаты  $x$  и времени  $t$

$$I(t, x) = I_0 + \frac{I_m}{x_m} x \cos(\omega_b t), \quad (7)$$

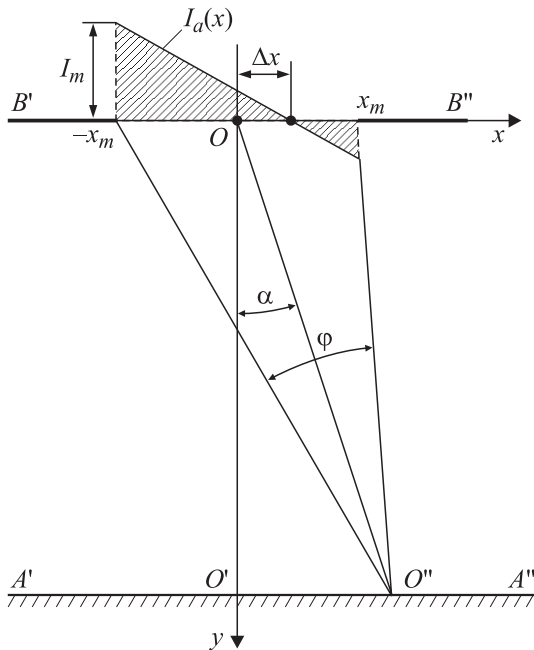
где  $I_0$  — постоянная составляющая интенсивности;  $\omega_b = 2\pi f_b$  — угловая частота биений;  $I_m$  — амплитуда переменной составляющей интенсивности на краю щели при  $x = x_m$ .

В выражении (7) линейно-периодическая зависимость от времени заменена на синусоидальную. Как показывает опыт, такая замена вполне правомерна: результаты основанного на этом выражении расчета описывают реальный процесс, сам же расчет при этом существенно упрощается.

## 2. Расчет коэффициента модуляции плотности облучения движущейся поверхности импульсным пучком с использованием продольного сканирования

В первой части работы [3] было показано, что процесс облучения движущейся поверхности синусоидально модулированным потоком через щелевой экран можно рассматривать как дифракцию Фраунгофера некоего волнового поля, происходящую в специфическом квазидифракционном пространстве. В настоящем разделе мы воспользуемся указанным соответствием не просто как удачной аналогией, а как расчетным аппаратом. А именно расчет плотности облучения движущейся поверхности через однощелевой экран облучающим потоком (7) мы изначально сведем к расчету дифракционной картины в квазидифракционном пространстве, а затем произведем переход от координат этого пространства к интересующим нас физическим величинам.

Для этого рассмотрим двумерное евклидово пространство  $XU$  с обычной евклидовой метрикой. Физический смысл координат этого пространства мы уточним позже, а пока будем их рассматривать как координаты обычного физического пространства. Пусть в пространстве  $XU$  на расстоянии  $R$  от плоскости наблюдения  $A'A''$  расположен щелевой экран  $B'B''$  (рис. 2). С верхней стороны на экран падает волновой поток, которому условно можно приписать электромагнитную природу. Предположим, что этот поток задает на линии щели линейное по  $x$



**Рис. 2.** К расчету квазидифракционной картины, формируемой однощелевым экраном с линейным распределением амплитуды поля вдоль щели (углы  $\alpha$  и  $\varphi$  предполагаются малыми).

распределение поля, комплексная форма которого может быть представлена в виде

$$\begin{aligned} I_a(x, t) &= \left( \frac{I_m \Delta x}{x_m + \Delta x} - \frac{I_m x}{x_m + \Delta x} \right) \exp(-j\omega t) \\ &= \left( I_m \eta \frac{I_m x}{x_m} \right) \cdot \frac{\exp(-j\omega t)}{1 + \eta}, \end{aligned} \quad (8)$$

где  $\Delta x$  — сдвиг точки нулевой амплитуды поля относительно центра щели;  $\eta = \Delta x/x_m$  — относительная величина этого сдвига;  $I_m$  — амплитуда поля на краю щели, противоположном сдвигу  $\Delta x$ .

На рис. 2 распределение поля показано в момент  $t = 0$ , когда  $\text{Re}[I_a(x, t)]$  достигает одного из своих максимальных по абсолютной величине значений. Поле (8) можно рассматривать как фрагмент стоячей волны, распределенной вдоль координаты  $x$ , имеющей узел при  $x = \Delta x$  и длину волны  $\lambda \gg x_m$ . Согласно принципу Гюйгенса–Френеля, задание поля в плоскости щели однозначно определяет его распределение за экраном. Если при расчете дифракционной картины ограничиться приближением Фраунгофера, то необходимо принять, что углы  $\varphi$  и  $\alpha$  малы. Это дает возможность свести расчет дифракционной картины на плоскости  $A'A''$  к расчету угловой дифракции на бесконечности.

Введем волновой вектор в направлении распространения поля  $k = \omega/c$ , где  $c$  — скорость распространения поля в квазидифракционном пространстве. Тогда для искомой зависимости поля дифракции от угла  $\alpha$  будем иметь [4,5]

$$\begin{aligned} \bar{I}_a(\alpha, \eta) &= \int_{-x_m}^{x_m} I_a(x, t) \exp(jk\alpha x) dx \\ &= \frac{I_m \eta}{(1 + \eta)} \exp(-j\omega t) \int_{-x_m}^{x_m} \exp(jk\alpha x) dx \\ &\quad - \frac{I_m}{(1 + \eta)x_m} \int_{-x_m}^{x_m} x \cdot \exp(jk\alpha x) dx \\ &= \frac{I_m \eta}{1 + \eta} \exp(-j\omega t) \int_{-x_m}^{x_m} \cos(k\alpha x) dx \\ &\quad - j \frac{I_m}{(1 + \eta)x_m} \exp(-j\omega t) \int_{-x_m}^{x_m} x \cdot \sin(k\alpha x) dx \\ &= \frac{2I_m x_m \eta}{1 + \eta} \cdot \frac{\sin(k\alpha x_m)}{k\alpha x_m} \exp(-j\omega t) \\ &\quad - j \frac{2I_m x_m}{(1 + \eta)x_m} \left[ \frac{\sin(k\alpha x_m)}{k\alpha x_m} - \cos(k\alpha x_m) \right] \exp(-j\omega t). \end{aligned}$$

Производя подстановку  $kax_m = \xi$ , получаем

$$\bar{I}_a(\xi, \eta) = \frac{2I_m x_m \eta}{1 + \eta} \sqrt{\frac{\pi}{2\xi}} \cdot J_{1/2}(\xi) \exp(-j\omega t) - j \frac{2I_m x_m}{1 + \eta} \sqrt{\frac{\pi}{2\xi}} \cdot J_{3/2}(\xi) \exp(-j\omega t), \quad (9)$$

где  $J_{1/2}(\xi)$  и  $J_{3/2}(\xi)$  — функции Бесселя первого рода с полуцелым индексом.

Беря модуль от полученного выражения, приходим к результату

$$|\bar{I}_a(\xi, \eta)| = \frac{I_m l}{1 + \eta} \sqrt{\frac{\pi}{2\xi} [\eta^2 J_{1/2}^2(\xi) + J_{3/2}^2(\xi)]}, \quad (10)$$

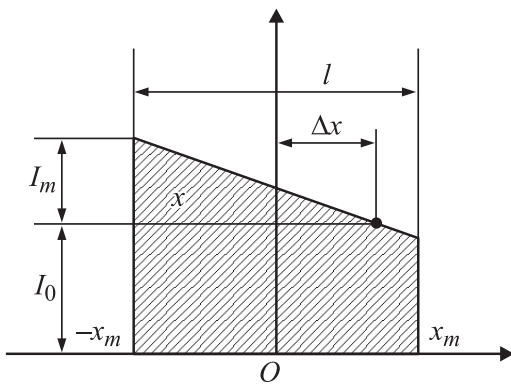
где  $l = 2x_m$  — ширина щели.

Согласно общему утверждению, выдвигаемому в работе [3], мы можем посмотреть на формулу (10) с других позиций, наделив входящие в нее переменные другим физическим смыслом, а именно рассматривать облучение движущейся со скоростью  $v$  поверхности через апертуру шириной  $l$ . При этом предположим, что облучающий поток подчиняется законам не волновой, а геометрической оптики, а распределение его интенсивности на линии апертуры задается выражением

$$I(x, t) = I_0 + \operatorname{Re}[I_a(x, t)] = I_0 + \left( \frac{I_m \eta}{1 + \eta} - \frac{I_m x}{(1 + \eta)x_m} \right) \cos(\omega t), \quad (11)$$

где  $I_0$  — постоянная составляющая интенсивности;  $I_a(x, t)$  определяется выражением (8).

Распределение (11) представлено на рис. 3 для  $t = 0$ . Из физических соображений ясно, что  $I_0 \geq I_m$ . Тогда, согласно [3], мы можем утверждать, что после прохождения ограничивающей апертуры коэффициент модуляции плотности облучения вдоль направления движения по-



**Рис. 3.** Распределение средней интенсивности облучающего потока вдоль щели (апертуры) шириной  $l$  для фиксированного момента времени. Ось сканирования сдвинута относительно центра апертуры на расстояние  $\Delta x$ .

верхности определится выражением

$$A_p(\xi, \eta) = C |\bar{I}_a(\xi, \eta)| = C \frac{I_m l}{1 + \eta} \sqrt{\frac{\pi}{2\xi} [\eta^2 J_{1/2}^2(\xi) + J_{3/2}^2(\xi)]}, \quad (12)$$

где  $C$  — постоянный коэффициент.

Рассмотрим предел

$$\lim_{\eta \rightarrow \infty} A_p(\xi, \eta) = C \cdot I_m l \sqrt{\frac{\pi}{2\xi} J_{1/2}^2}. \quad (13)$$

Согласно (11), этому пределу соответствует не зависящая от  $x$  интенсивность облучения, изменяющаяся во времени по гармоническому закону. Но этот случай был рассмотрен в [3], где для коэффициента модуляции плотности облучения было получено выражение

$$A_{p1} = \frac{I_m}{I_0} \left| \frac{\sin \xi}{\xi} \right|, \quad (14)$$

где  $\xi = \omega_b l / 2v$ ;  $v$  — скорость движения поверхности;  $\omega_b$  — угловая частота модуляции (в данном случае это частота биений);  $I_m$  — максимальная амплитуда модуляции интенсивности (в данном случае ей соответствует амплитуда переменной составляющей интенсивности на краю щели, противоположном сдвигу  $\Delta x$  (рис. 3));  $I_0$  — постоянная составляющая интенсивности облучения.

Сравнивая (13) и (14), заключаем, что  $C \sim 1/I_0 l$ . Поскольку  $I_m$  и  $I_0$  не зависят от  $\eta$  не только в предельном, но и в общем случае, то выражение (12) окончательно принимает вид

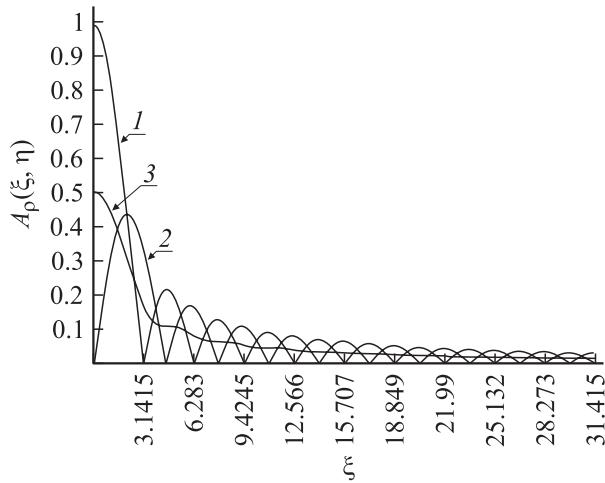
$$A_p(\xi, \eta) = \frac{I_m}{I_0(1 + \eta)} \sqrt{\frac{\pi}{2\xi} [\eta^2 J_{1/2}^2(\xi) + J_{3/2}^2(\xi)]}. \quad (15)$$

Возвращаясь к выводам раздела 1 настоящей работы, можно сказать, что выражение (11) является обобщением выражения (7) на случай, когда  $\eta \neq 0$ , т.е. когда ось сканирования проходит не через центр апертуры и даже может уходить за ее пределы. Если же ось сканирования проходит через центр апертуры, то  $\eta = 0$  и, согласно (15), коэффициент модуляции плотности облучения может быть рассчитан по формуле

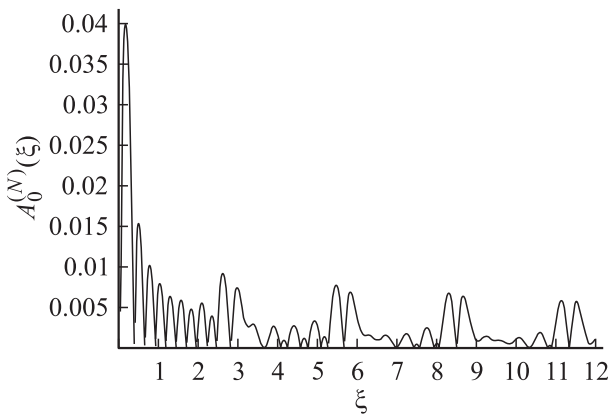
$$A_p(\xi, 0) = \frac{I_m}{I_0} \sqrt{\frac{\pi}{2\xi} J_{3/2}^2(\xi)}. \quad (16)$$

Для тех значений параметров, для которых  $A_p = 0$ , переменная составляющая плотности облучения отсутствует и мы имеем равномерно облученную по всей длине поверхность.

На рис. 4 представлены зависимости (15) для трех значений параметра  $\eta$ . Как видно из кривой 2 совпадение оси сканирования с центром щели (апертуры) дает нулевое значение коэффициента модуляции плотности, или, другими словами, не приводит к нарушению равномерности облучения, если частота биений достаточно низка. Однако, как было показано выше, удержать



**Рис. 4.** Зависимость коэффициента модуляции плотности облучения  $A_p$  от  $\xi$  для различных значений относительного сдвига  $\eta$ : 1 —  $\eta \rightarrow \infty$ , 2 —  $\eta = 0$ , 3 —  $\eta = 1$ .



**Рис. 5.** Зависимость  $A_p^{(N)}(\xi)$  для  $N = 11$  и  $(d - l)/d = 1$ . Ось сканирования совпадает с центром средней щели решетки.

низкое значение этой частоты практически трудно. Самый незначительный уход  $f_{sc}$  или  $f_{im}$  может привести к резкому увеличению частоты биений  $f_b$  и к появлению периодической неравномерности в плотности облучения. По этой же причине частоту биений трудно удержать в любой другой точке, соответствующей  $A_p = 0$ . Повышение частоты сканирования также мало способствует устранению этого недостатка, поскольку спектр низкочастотных биений исключительно широк и для больших значений  $f_{sc}$ . Наиболее эффективным средством борьбы с неравномерностью облучения в данном случае можно считать введение регулируемой аperiodичности в процесс сканирования. Такой режим не позволяет возникающим биениям фиксироваться в определенной точке квазидифракционной картины и тем самым приводит как бы к „размазыванию“ негативного эффекта.

Интересным является случай для  $\eta = 1$ . В отличие от случаев  $\eta = 0$  и  $\eta = \infty$  зависимость  $A_p$  от  $\xi$

носит здесь достаточно гладкий и монотонный характер. Такой режим облучения можно использовать, если необходимо получить постоянный коэффициент модуляции плотности облучения при существенных колебаниях частоты биений или скорости движения облучаемой поверхности.

В заключение этого раздела приведем без вывода выражение для плотности облучения движущейся поверхности через периодическую пространственную решетку как функцию параметра  $\xi$ . Это выражение получено в предположении, что ось симметрии сканирования проходит через центр решетки, а число ее щелей  $N$  нечетно. Понятно, что при большом  $N$  последнее ограничение становится мало существенным.

$$A_p^{(N)}(\xi) = \frac{I_m}{I_0 N \cdot l [d(N - 1) + l]} \times \sum_{i=1}^N (-1)^{i+1} l_i^2 \sqrt{\frac{\pi}{2\xi_i}} J_{3/2}(\xi_i), \quad (17)$$

где

$$l_i = (i - 1)d + \Psi(i)(d - l) = \Psi(i + 1)l;$$

$$\xi_i = (\xi/l) [(i - 1)d + \Psi(i)d + l(-1)^{i+1}];$$

$$\Psi(i) = \frac{1 + (-1)^i}{2};$$

$\xi = l\omega_b/2v$ ;  $l$  — ширина щели;  $d$  — период решетки;  $I_m$  — амплитуда интенсивности облучения на краях решетки;  $I_0$  — постоянная составляющая интенсивности облучения.

Из физических соображений ясно, что  $A_p^{(N)}$  не может превышать единицу. Отсюда, как и в вышеприведенных случаях, следует ограничение  $I_0 \geq I_m$ .

На рис. 5 представлен график функции (17) для  $N = 11$  и  $(d - l)/d = 0.1$ . Видно, что сочетание импульсного облучения со сканированием приводит к характерному расщеплению квазидифракционных максимумов, включая нулевой.

### 3. Об интерпретации координат квазидифракционного пространства

В работе [3] мы отмечали, что трудно указать достаточно обоснованные предпосылки, исходя из которых можно было бы дать однозначную интерпретацию для координат пространства  $XU$  и придать физический смысл метрике этого пространства как его основному преобразовательному инварианту. Однако если не претендовать на однозначность и общность подхода, то для фиксированной координатной системы такая задача вполне выполнима. Действительно, предположим, что координатная система в  $XU$  фиксирована так, как показано на рис. 2. Если учесть налагаемые щелью граничные

условия, то процесс дифракции в полном виде может быть описан волновым уравнением

$$\frac{1}{c^2} \cdot \frac{\partial^2 I(x, y, t)}{\partial t^2} = \Delta I(x, y, t), \quad (18)$$

где  $I$  — волновая функция поля,  $c$  — скорость перемещения поля в  $XU$ ,  $\Delta$  — двумерный лапласиан.

Если в выражение (14) вместо  $1/v$  подставить  $\alpha/c$ , где  $\alpha$  — малый угол дифракции, то зависимость  $A_{p1}(\alpha)$  будет совпадать с модулем решения уравнения (18) на плоскости наблюдения  $A'A''$  в приближении Фраунгофера [6,7]. Из проделанной подстановки следует, что  $\alpha = c/v$ . Поскольку приближение Фраунгофера предполагает  $\alpha \ll 1$ , то получаем  $c \ll v$ , т.е. скорость распространения волн в пространстве  $XU$  должна быть много меньше скорости движения облучаемой поверхности в реальном пространстве.

Пусть за реальное время  $\tau$  произвольная точка поверхности переместится в реальном пространстве на расстояние  $R$ . Тогда

$$\alpha = \frac{c}{v} = \frac{c}{(R/\tau)} = \frac{c \cdot \tau}{R}. \quad (19)$$

Предположим, что пространство  $XU$  имеет метрику обычного евклидова пространства, в котором оси  $X$  и  $U$  ортогональны. Если плоская волна падает на щелевой экран в направлении оси  $U$ , а дифракционные отклонения наблюдаются в направлении оси  $X$ , то для малых углов  $\alpha \approx \text{tg} \alpha = x/u$ . Отсюда, принимая во внимание (19), мы можем приписать координатам  $x$  и  $u$  следующий смысл:

$$x = c \cdot \tau, \quad u = R. \quad (20)$$

Иначе говоря, в квазидифракционном пространстве координата  $x$  является нормированным реальным временем  $\tau$  ( $c$  — нормировочный коэффициент), а координата  $u$  равна длине участка поверхности, облученной за это время. При постоянной частоте модуляции облучающего потока переход в другую точку квазидифракционной картины соответствует изменению угла наблюдения и, следовательно, скорости движения поверхности.

В заключение публикуемой части работы авторы хотят выразить свою признательность профессору Г.В. Островской за конструктивную критику и ценные замечания, возникшие у нее после прочтения первых вариантов рукописи.

## Список литературы

- [1] Кудояров М.Ф., Матюков А.В., Мухин С.А. // Формирование потока ускоренных ионов при облучении широких полимерных пленок. Тез. докл. Мембрана-98. М., 1988. С. 123.
- [2] Гусинский Г.М. и др. // ПТЭ. 1973. № 1. С. 25.
- [3] Зорько К.И., Кудояров М.В., Матюков А.В. и др. // ЖТФ. 2002. Т. 72. Вып. 10. С. 87–94.

- [4] Терлецкий Я.П., Рыбаков Ю.П. Электродинамика. М., 1990. 352 с.
- [5] Yu, Fr.T.S. Introduction to Diffraction, Information Processing and Holography. Massachusetts, 1973. 366 p.
- [6] Нагибина И.М. Интерференция и дифракция света. Л., 1974.
- [7] Ландау Л.Д., Лифшиц Е.М. Теория поля. М., 1967. 460 с.